

Syntheses of Silver Nanoparticles Using Two Energies, 300 and 500 mJ of Nd: YAG Laser

N. A. Al_Jubbori⁽¹⁾, M. A. D. Al-Jubbori^{(2)*}, A. E. Ezwam⁽³⁾

⁽¹⁾Department of Chemical, Biological and Radiological Safety and Security ,Presidency of the University of Mosul, Iraq

⁽²⁾Department of Physics, College of Education for Pure Sciences, University of Mosul, Mosul, Iraq

⁽³⁾Physics Department, College of Sciences, Tripoli University, Libya

Article information

Article history:

Received: May 06, 2024

Revised: October 04, 2024

Accepted: October 06, 2024

Available online: January 01, 2025

Keywords:

Silver Nanoparticles

Pulsed Laser

Transmission Electron Microscope

Silver Nanoparticle Diameters

Correspondence:

Mushtaq Abed Dawood Al-Jubbori,

mushtaq_ph@uomosul.edu.iq

Abstract

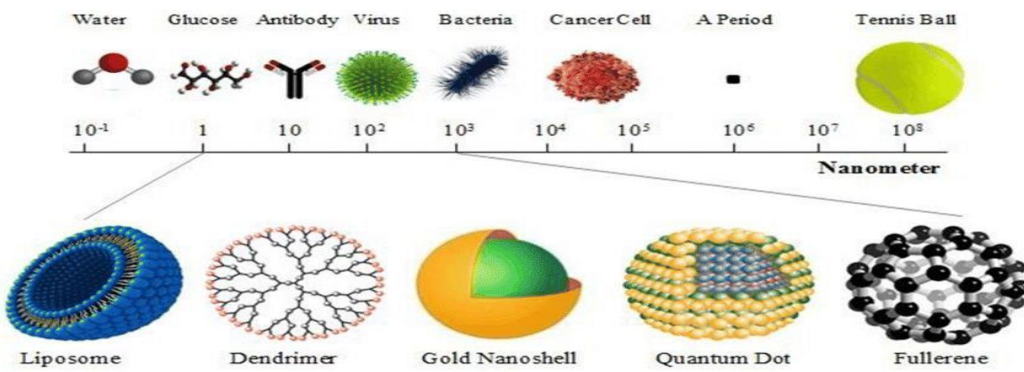
The aim of this paper a prepare silver nanoparticles using the pulsed laser ablation method in liquid (PLAL). This method is considered unconventional, fast, clean, long-lasting, and non-toxic, using a Q-switched pulsed laser (1064 Nd: YAG) nanometers. With two ablation energies (300, 500 mJ) and a number of pulses (50, 100, 150, 200), the laser ablation process was carried out at room temperature, by immersing the metal in deionized water (distilled water) with (5 mL). After preparing the solutions, we noticed the change in the color of deionized distilled water increases with the number of pulses, this is a good indicator of the production of silver nanoparticles. The color of the solution ranges from pale yellow to dark yellow. The physical properties were analyzed by transmission electron microscope (TEM) at a pulse of 200 and were shown by this examination showed that there were nanoparticles in the prepared solutions of silver, and the results of the TEM images showed that at two energies (300, 500 mJ) spherical silver nanoparticles were obtained, from these images the diameters of nanoparticles were measured using the (ImageJ) program, it was shown that the diameter distribution range between (4.41 - 42.87 nm), which was approximately centered at (18.13) nm for silver, and at 500mJ laser power the diameter distribution range between (3.12- 26.60 nm), which was approximately centered at (16.67) nm for silver.

DOI: [10.33899/edusj.2024.149313.1455](https://doi.org/10.33899/edusj.2024.149313.1455), ©Authors, 2025, College of Education for Pure Science, University of Mosul.

This is an open access article under the CC BY 4.0 license (<http://creativecommons.org/licenses/by/4.0/>).

1. المقدمة.

تولى البحث الحديث اهتماماً كبيراً ببقنالات النانو، نظراً لخصائصها الفيزيائية والكيميائية الرائعة، وتنوع تطبيقاتها الواسعة بتحضير العينات النانو بتقنيات متطرفة ، كما هو الحال في الأبحاث العلمية المذهلة في العديد من المجالات بما في ذلك الفيزياء والكيمياء[1]. ويعتمد مبدأ هذه التقنية على التحكم أو إعادة هيكلة المادة على المستويين الذري والجزئي من أجل الحصول على مواد نانوية متميزة الخواص وعالية الأداء[2]. والبيان الرئيس للتغير في السلوك من الحالة السائبة أو التقليدية إلى الحالة النانوية مما أو لا: زيادة مساحة السطح النسبية ، وثانياً: هيمنة التأثيرات الكمية . وستؤدي الزيادة في مساحة السطح (كل وحدة كتلة) إلى زيادة مقاومة في التفاعل الكيميائي مما يجعل بعض المواد النانوية مفيدة ونافعة بوصفها محفزات لتحسين كفاءة حلية الوقود والبطاريات، ونظرًا لتقليل حجم المادة إلى عشرات النانومتر أو أقل من ذلك ؛ فمن الممكن أن تبدأ هذه التأثيرات الكمية في لعب دور مهم في تغيير الخصائص البصرية أو الكهربائية أو المغناطيسية للمادة بشكل كبير[3]. إن كلمة "نانو" مصطلح مشتق من الكلمة اليونانية "Nanos" والتي تعني: القزم الصغير [4]. وتم تعريف هذه الكلمة "نانو" للإشارة إلى الرقم 10^{-9} أي : واحد من المليار من أية وحدة قياس ، والنانومتر: هو ألف جزء من المليون من المتر 10^{-9} m (0.3 nm) تقريباً. والشكل (1) يوضح أمثلة التراكيب النانوية على المقاييس النانوي؛ لأنـه في هذا المقاييس يمكن أن تكون خصائصـ المواد مختلفـة تماماً عن تلك الموجودة على النطـاق الأكـبر [5,6].

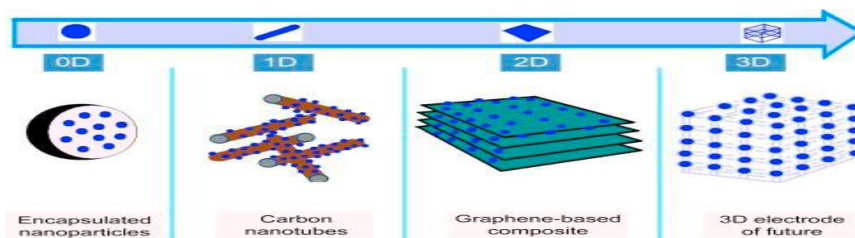


الشكل (1): يوضح مخطط البنية النانوية [7]

إذن تمثل المواد ذات البنية النانوية (NSMs) Nano Structured Materials (NSMs) مجالاً شاسعاً للبحث، وقطاعاً تقيياً اقتصادياً مع توسيع كامل في العديد من المجالات التطبيقية، واكتسبت المواد ذات البنية النانوية (NSMs) أهميتها في التقدم التكنولوجي؛ نظراً لخصائصها الفيزيائية والكيميائية القابلة للضبط مثل: التوصيل الكهربائي، والحراري، ونقطة الانصهار، والنشاط التحفيزي، وامتصاص الضوء، والتشتت مما أدى إلى تحسين الأداء على حالاتها السائبة أو (التقليدية) كبيرة الحجم [8,9]. ويمكن تعريف المواد النانوية (NM) على أنها تلك المواد النانوية التي لها مكونات تركيبية على الأقل إحدى أبعادها في حيز النانو. وقد أدى صغر حجم هذه المواد إلى أن تسلك سلوكاً مغایراً للمواد التقليدية أو السائبة والتي يكون حجمها أكبر من الأبعاد النانوية أي: أكبر من nm (100)؛ لأن الأبعاد النانوية تبدأ من (1-100) نانومتر لها السبب يقال عنها إنها تقع ضمن الحجم النانوي أو المدى النانوي. وئد المواد النانوية هي مواد البناء للقرن الحادي والعشرين، ولبنائه الأساسية، والركن المهم من أركان تكنولوجياته والتي تشمل تكنولوجيا النانو، وتكنولوجيا المعلومات والاتصالات، والتكنولوجيا الحيوية وما إلى ذلك والتي تعد معياراً للتقدم العلمي ونهضته [10,11,12].

وتصنف المواد النانوية على أساس مادي إلى ثلاثة رتب، الأولى : **المواد النانوية العضوية**: والتي يدخل في تركيبها الكربون، وبشكل عام تحتوي على المواد ذات البنية النانوية (NSMs)، وتكون هذه المواد بأشكال مختلفة، مثل: الأنابيب الموجفة، والفلوررين (Gr)، والأنابيب النانوية الكربونية (CNTs)، واللياف الكربون النانوية، والجرافين (Gr). ومن الممكن تحضير مثل هذه المواد بإحدى الطرائق كالقسطل بالليزر، والترسيب الكيميائي. الثانية: **المواد النانوية غير العضوية**: وهي المواد النانوية التي لا يدخل في تركيبها عنصر الكربون و يمكن تحضير هذه المواد من بعض المعادن منها: الذهب (Au) أو الفضة (Ag) أو النحاس (Cu) وأكسيد المعادن. الثالثة : **المواد النانوية المركبة**: وهي مواد تتكون من أكثر من مادة نانوية أو من جسم نانوي مع حسيب غير نانوي كبعض المعادن والأكسيد، ويكون هذا النوع من المواد أكثر تعقيداً من النوعين السابقين. فعلى سبيل المثال :لياف نانوية هجينية أو هيكل أكثر تعقيداً، وقد تكون المركبات ذات البنية النانوية عبارة عن مجموعة ناتجة من دمج بعض المركبات أو المعادن منها الكربون أو المعادن العضوية، وغير العضوية لينتاج مادة جديدة مثل:(السيراميك أو البوليمر) [13,14,15,16].

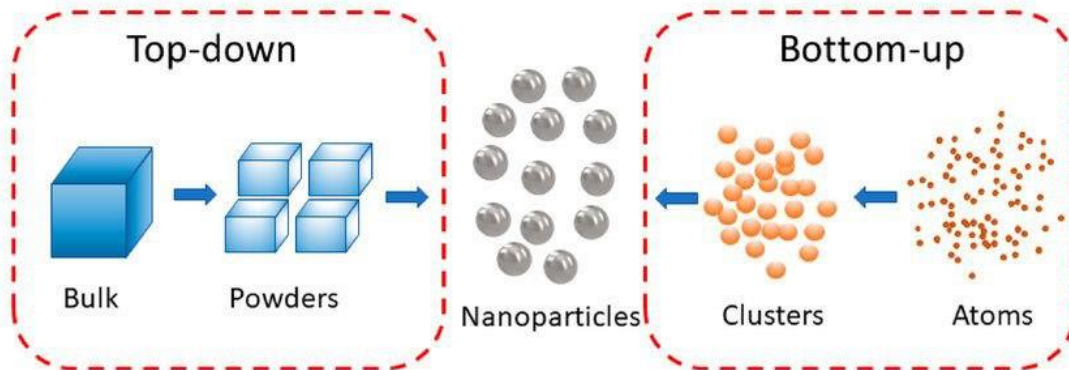
هناك سمة رئيسية تميز أنواعاً مختلفة من المواد النانوية اعتماداً وبشكل أساس على (أبعادها)، وتكوينها، وشكلها، وتوحيدتها) والتي تقع ضمن المدى النانوي، وتشمل هذه الأبعاد مواد نانوية ذات بعد صفر(0D): ويمتاز هذا النوع بامتلاكه جميع الأبعاد لكونه صغيراً جداً ضمن المدى nm (1-50)، أما من ناحية مستويات الطاقة فتكون منفصلة لذلك قد أطلق عليها الذرات الاصطناعية، مثل: جسيمات الفضة والذهب [18,19,20]. أما الصنف الثاني: فهو مواد نانوية أحادية الأبعاد 1D : ومتكون هذه المواد بيعدين ضمن المدى النانوي ، أما بعد الآخر فيكون كبيراً خارج المقاييس النانوية مقارنة بالبعدين الآخرين، ويكون طول الأبعاد أصغر من (100 nm) وتشمل هذه الفئة : الألياف النانوية والأسلاك النانوية [21,22]. أما المواد النانوية ثنائية الأبعاد (2D): فليها حجم واحد ضمن الأبعاد النانوية، والأبعاد الأخرى كبيرة مقارنة بالبعد الأول، وتشمل هذه الفئة ورقة الجرافين النانوية، والأغشية الرقيقة، وهنالك مواد ثلاثية الأبعاد (3D): تمتلك جميع الأبعاد التي تقع خارج المدى النانوي بمعنى أبعادها أكبر من nm (100)، مثل: التراكيب البولورية التي تحتوي على حبيبات [23,24,25]. كما هو موضح في الشكل(2).



الشكل (2): تصنيف المواد النانوية (a) 0D: الجسيمات النانوية ، (b) 1D: الأسلاك ، والقضبان و الألياف النانوية ، (c) 2D: الأفلام والألوان والشبكات ثنائية الأبعاد، (d) 3D: المواد ثلاثية الأبعاد [26].

أما من ناحية طرق تصنيعها أو إنتاجها فهناك طرق عديدة لإنتاج الجسيمات النانوية ، منها طريقة (من أعلى إلى أسفل): هذه الطريقة تبدأ بحجم محسوس من المادة فتصغر إلى أجزاء أصغر فأصغر من أجل الوصول إلى حجم النانومتر أي: إلى مستوى nm (100)، كما أن إنتاج الجسيمات النانوية من الأعلى إلى الأسفل كان يلعب دوراً حيوياً في إنتاج التراكيب النانوية، لأن له العديد من الفوائد التي تشمل التكلفة العالية و يحتاج إلى وقت أطول في النقش وما إلى ذلك. ومن بين التقنيات المستعملة في ذلك الحفر هي : الاستنساخ الليزري [27,28,29]. أما الطريقة الثانية: فهي طريقة (من أسفل إلى أعلى) وتمتاز هذه الطريقة بتنظيم الذاتي لذرات أو الجزيئات منفردة. أي : تقوم بترتيب نفسها في بنيتها نتيجة خصائصها الطبيعية، وتتميز هذه بصغر حجم المادة الناتجة بالإضافة إلى ذلك قلة الهدر للمادة الأصلية، وتحقيق قوة ترابط بين

الجسيمات النانوية الناتجة ، وغالباً ما تستعمل الطرق الكيميائية لإنتاج هذا النوع من الجسيمات [30,31]. هناك طرق أخرى تعتبر من الطرق النظيفة وغير المكلفة لتحضير المواد النانوية ومن أهم هذه الطرق هي : الطريقة الخضراء (Green synthesis) مثل تحضير المركبين النانويين (Curcumin\oxide zinc) [32] و (Curcumin\selenium) [33]. تحضر المواد النانوية أيضاً من مركبات نانوية حيوية ثلاثة مثل (Ag/ZnO/chitosan) (Ag/ZnO/Cs) عن طريق ثنيت جسيمات ZnO/CS بواسطة طريقة الاستئصال بالليزر كمواد متعددة الوظائف. نانوية من الفضة إلى مصفوفة ZnO/CS بواسطة طريقة الاستئصال الليزري في السوائل (من الأعلى إلى الأسفل) لتحضير جسيمات الفضة النانوية وبنبيضات مختلفة ومعرفة مدى تأثير عدد النبضات على الخصائص البصرية للجسيمات المحضررة والتي ستنظر إلى إليها بالقصيل في الجانب العملي . الشكل (3) يوضح طرق إنتاج المواد النانوية.



الشكل (3): طرق إنتاج المواد النانوية [33]

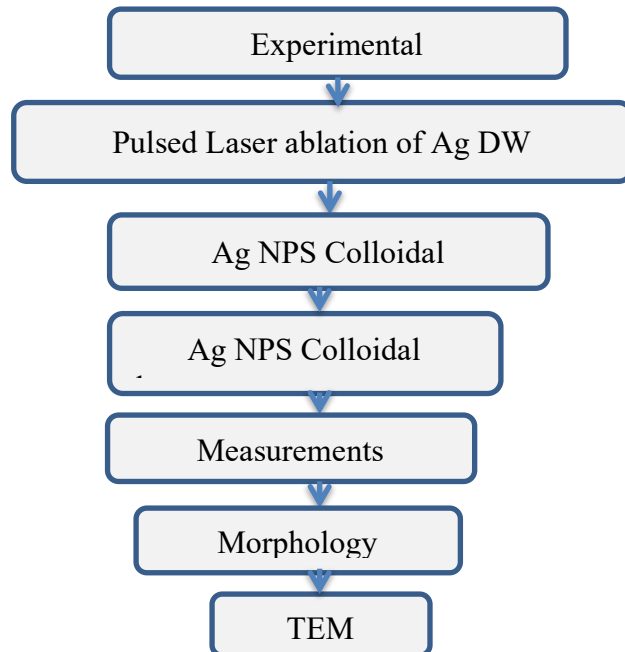
2.2.1 المواد المستخدمة:

في دراستنا الحالية استعمل هدف معدني خام من الفضة ذات نقافة عالية جداً (1000) ، وقبل البدء بعملية الاستئصال نقوم بعملية صقل سطح مادة الهدف المعدني بورق السنفرة للتخلص من الشوائب، وبعد ذلك يتم غسلها بمادة الإيثانول علي النقافة ، ومن ثم بماء مقطر (Distilled Water) خالي من الايونات. ثم يوضع الهدف في أسفل أناء زجاجي، ويغمر بالماء المقطر الخالي من الايونات(DW)، وكان حجم الماء المستعمل في كل عملية استئصال هو (5 mL) كذلك اثناء عملية الاستئصال يتم تحريك الاناء الزجاجي وفي داخله مادة الهدف المغمورة في الماء المقطر الخالي من الايونات بواسطة جهاز دوار يعمل على الطاقة الضوئية. والشكل (4) يوضح هدف الفضة قبل الاستئصال وبعده.



الشكل (4): هدف من الفضة قبل الاستئصال بعد الاستئصال
(a) قبل الاستئصال و (b) بعد الاستئصال.

2.2 طريقة التحضير.
يبين هذا الجانب كيفية الحصول على جسيمات الفضة النانوية باستخدام تقنية الاستئصال بالليزر النبضي في السوائل، كما هو موضح في المخطط المبين بالشكل (5).



الشكل (5): مخطط توضيحي لعملية الحصول على جسيمات النانوية

يوضح الشكل (6) صورة فوتوغرافية لمنظومة الاستئصال بالليزر النبضي للهدف المعدني عالي النقاوة ذات عيار (1000) (فضة) المغمورة في الماء مقطر (DW) خالي من الأيونات. تتألف المنظومة من مصدر ليزر (YAG Nd: Q-Switched) ذي منشأ صيني بثلاثة أطوال موجية (532 nm, 1064 nm, 1320 nm) مع أقصى طاقة (2000 mJ) لكل نبضة و زمن النبضة (10 ns) ومعدل التكرار (6Hz).



الشكل (6): صورة فوتوغرافية لمنظومة المستخدمة للاستئصال.

إذ تمت عملية الاستئصال للأهداف المعدنية في جامعة الموصل كلية التربية للعلوم الصرفة قسم الفيزياء في مختبر البحث. ويوضح الجدول (1) خصائص الجهاز المستخدم.

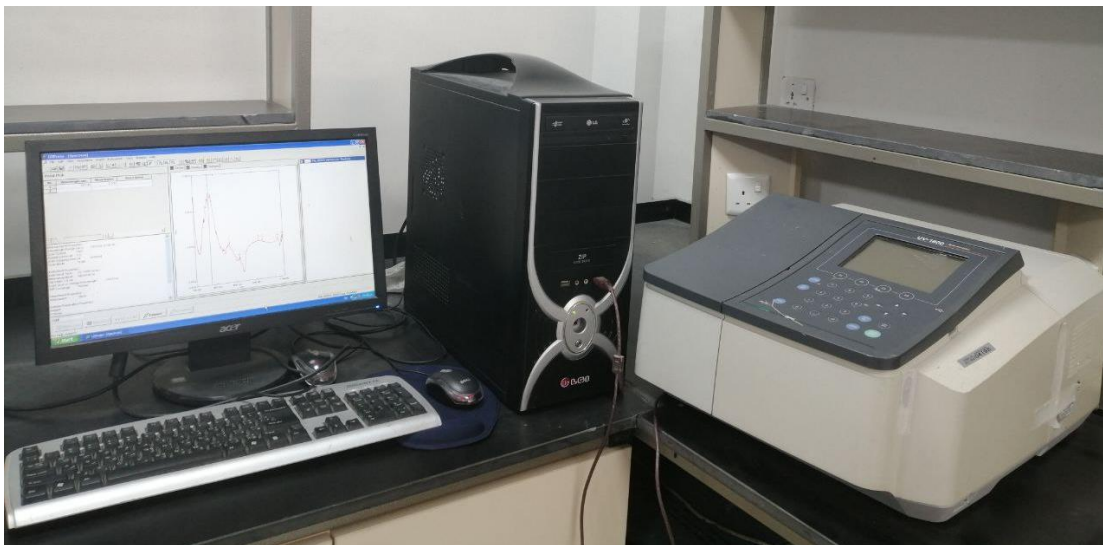
جدول (1): خصائص الليزر النبضي المستخدم

الخاصية	القيمة
مدة النبضة	10 ns
معدل التكرار	1-10 Hz
طاقة الليزر	2000 mJ
الوضع العرضي	TEM ₀₀
نوع الليزر	Q-switched Nd:YAG
الطول الموجي	532 nm, 1064 nm, 1320 nm

2.3 الأجهزة المستخدمة.

مطياف الأشعة المرئية والفوق البنفسجية (UV-Visible).

يُستخدم هذا الفحص للإشارة إلى التحليل الطيفي للأمتصاص والانعكاس في المنطقة الطيفية للأشعة فوق البنفسجية المرئية (UV-Vis)، إذ إنَّ للامتصاص والانعكاس تأثيراً كبيراً في النطاق المرئي على اللون للمادة الكيميائية المعنية بالفحص. تم وضع المحاليل المحضرة بظروفٍ مختلفةٍ في خلية من الكوارتز سمكها cm (1) وبدرجة حرارة الغرفة ، ويشير تغير لون محلول الغروي للمواد المستعملة عن تولد جسيمات نانوية. تم قياس أطيف الأمتصاص لمحاليل الجسيمات النانوية بواسطة مقياس الطيف الضوئي المزدوج للأشعة فوق البنفسجية – المرئية (UV-Visible) ضمن مدى الأطوال الموجية nm (190-1100) وذلك باستعمال جهاز (Shimadzu, Japanes) المصنوع من قبل شركة (UV-Visible) 1800 double beam spectrophotometer والشكل (7) يوضح مخطط للجهاز المستعمل بالفحص.



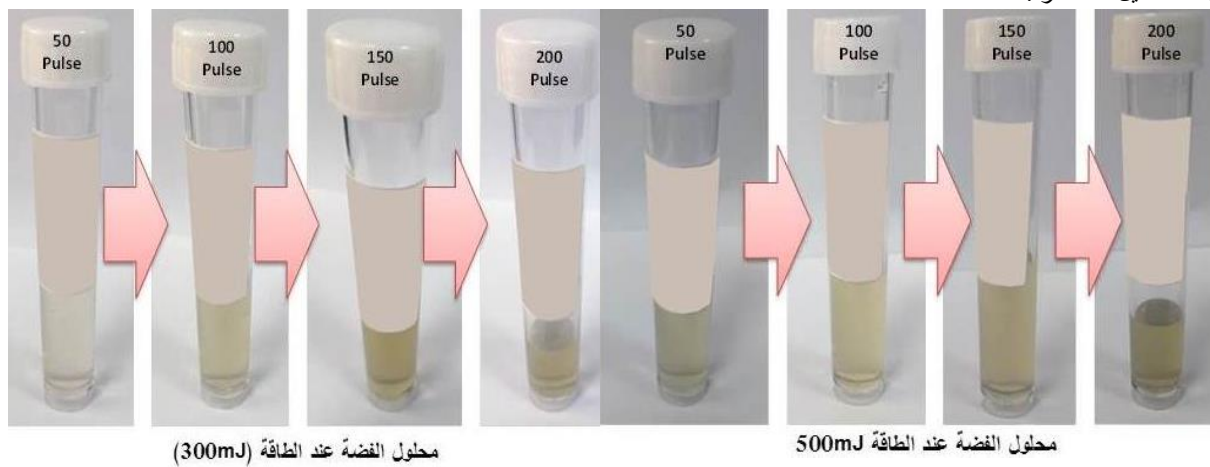
الشكل (7): جهاز مطياف الأشعة فوق البنفسجية والأشعة المرئية.

والأجل دراسة الخصائص المورفولوجيا للسطح تم استخدام المجهر الإلكتروني النافذ (Transmission Electron Microscope) (TEM) . . و الذي يعتبر أداة قوية ومميزةً لوصف الجسيمات النانوية ، إذ من السهل أن تعطي معلوماتٍ عن شكل وحجم الجسيمات النانوية ، وكذلك يمكن أن تكشف عن طبيعة العيوب البلورية عبر المجهر الإلكتروني النافذ (TEM). تم تحديد خصائص مورفولوجية للجسيمات النانوية مثل: شكل وحجم الجسيمات باستخدام المجهر الإلكتروني النافذ (TEM) (Zeiss-EM10C-100Kv-Germany) نوع حساب قطر الجسيمات النانوية باستخدام برنامج يدعى (Image J).



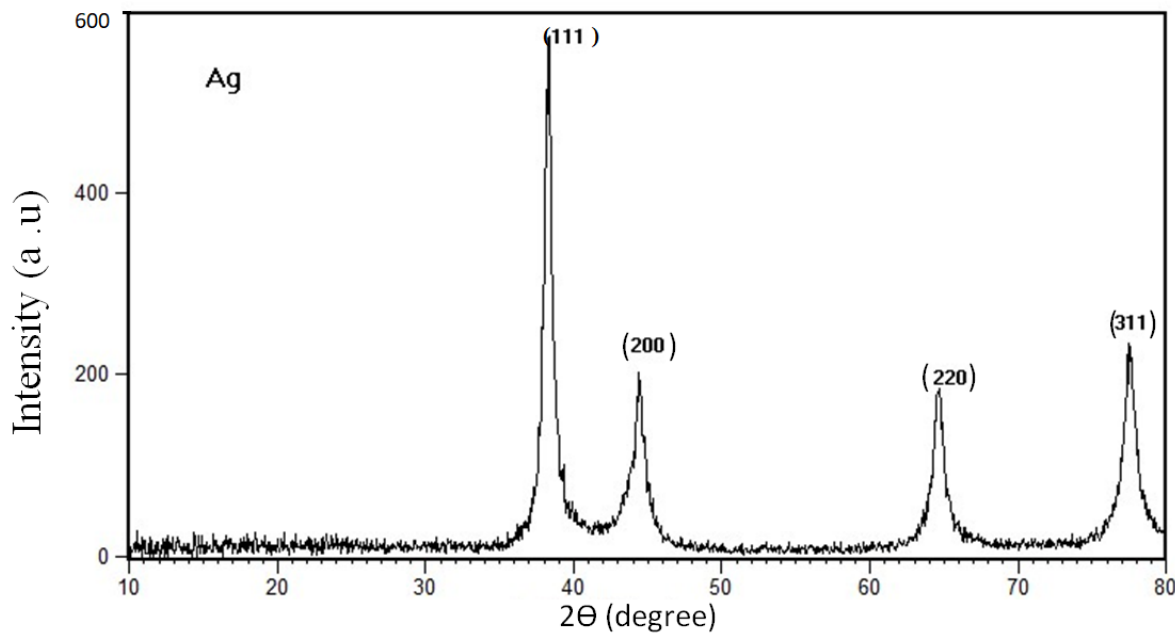
الشكل (8): المجهر الإلكتروني النافذ (TEM)

4. النتائج والمناقشة: في دراستنا الحالية تم تحضير محليل الغروية للفضة ، ودراسة نتائج التأثيرات بعض معاملات الليزر مثل: طاقة الليزر، وعدد نبضات الليزر على خواص الجسيمات النانوية المحضرة من بين المؤشرات الأولية للحصول على جسيمات نانوية، هو تغيير لون محلول أو الماء المقطر والشكل (8) يبين تدرج لون محلول لجسيمات الفضة للطاقة (300, 500, 150, 100, 50) نبضة. ونلاحظ من الشكل أن لون محلول يصبح داكناً شيئاً فشيئاً نحو اللون الأصفر لهذه محليل المحضرة.



الشكل (9): صور محليل الجسيمات النانوية للفضة عند طاقات مختلفة (300, 500 mJ) ولعدد نبضات مختلفة.

أظهرت نتائج الفحص لحيود الأشعة السينية لعينة الفضة: أن النظام البلوري هو مكعب الشكل مركز الأوجه، ومتعدد البلور، ونلاحظ من الشكل(10) أن هناك أربع قمم عند الزوايا (38.2763)، (44.4084)، (44.7056)، (77.5220) و(200)، (220)، (311) وأيضاً تبين أن النتائج التي تم الحصول عليها أن المسافة بين المستويات الذرية (d) وزوايا الحيود (2θ) التي تلاقي قمم الحيود للمسحوق تتطابق إلى حد كبير نتائج البطاقة الدولية المرقمة Card ICDD-00-004-0783 لمادة الفضة، وأن اتجاه المستوى البلوري بالاتجاه (111) هو الفهيم كما هو موضح في الشكل (9). تم حساب حجم البلورات وتبيّن أنها ضمن المقياس النانوي ، إذ كانت بحدود (14-24nm) كما في الجدول (2) وكذلك يوضح التوافق بين البيانات التجريبية والقياسية .



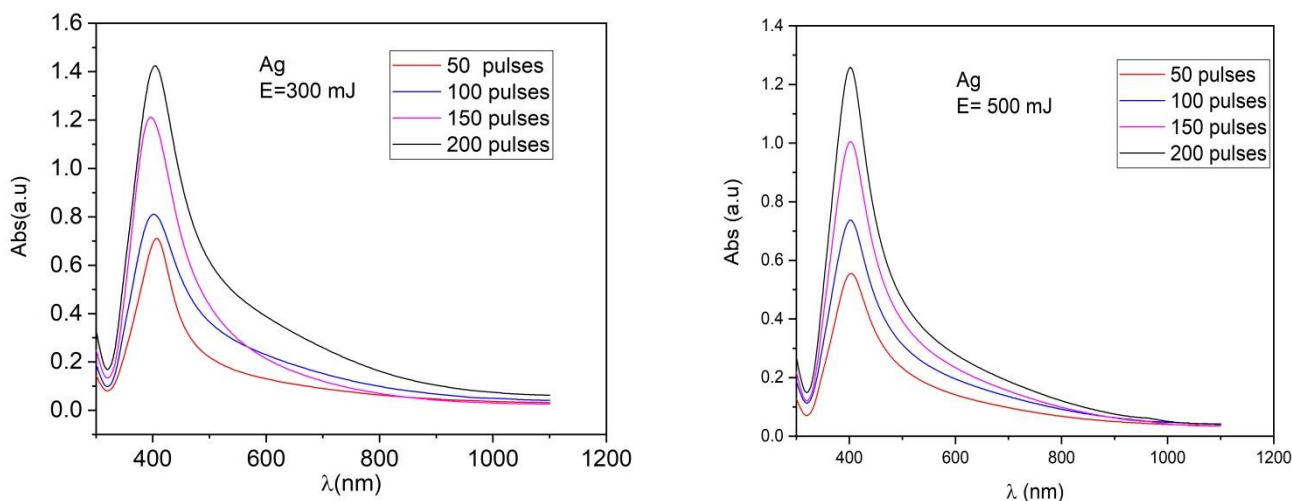
شكل (10): حيود الأشعة السينية لمسحوق الفضة النانوية.

الجدول (2): النتائج التجريبية والقياسية للأشعة السينية لمسحوق الفضة النانوي .

(hkl)	$d_{hkl}(A^\circ)$ القياسية	$d_{hkl}(A^\circ)$ التجريبية	FWHM (deg)	$2\Theta(deg)$ القياسية	$2\Theta(deg)$ التجريبية	D (nm) الحجم الحبيبي
111	2.35900	2.35152	0.3444	38.1164	38.2763	24.4047
200	2.044000	2.04001	0.4920	44.2773	44.4084	17.4321
220	1.445000	1.44065	0.4428	64.4257	64.7056	21.2050
311	1.231000	1.23037	0.7200	77.4723	77.5220	14.1451

و من خلال الشكل (11) الذي يوضح مقارنة الامتصاصية لطاقة الليزر (300, 500 mJ) وعدد نبضات مختلفة (300, 500, 150, 100, 50) نبضة ، و نلاحظ أنَّ قمم الامتصاص في المنطقة المرئية هي دليلٌ للمعادن المُتميزة في تكوين الجسيمات النانوية. وكما لوحظ أنَّ قمم الامتصاص للجسيمات النانوية للفضة التي أعدت عند الطاقات (300, 500 mJ) بقيت ثابتة عملياً عند (400 nm) [Sanchez et al., 2007]

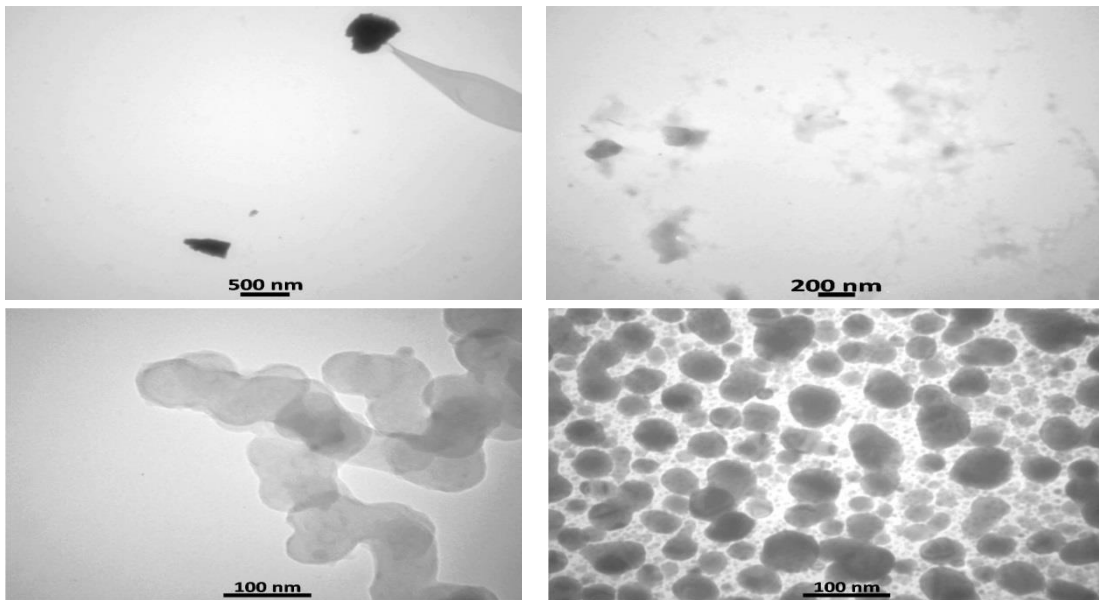
والعينات التي تم تحضيرها عند طاقة (300 mJ) لجسيمات الفضة النانوية أظهرت قمم امتصاص أكبر من تلك التي تم تحضيرها عند الطاقة 500 mJ وعدد نبضات مختلفة (100, 150, 100, 50 and 50)، وهذا متعلق بتركيز جسيمات النانوية في المحلول.



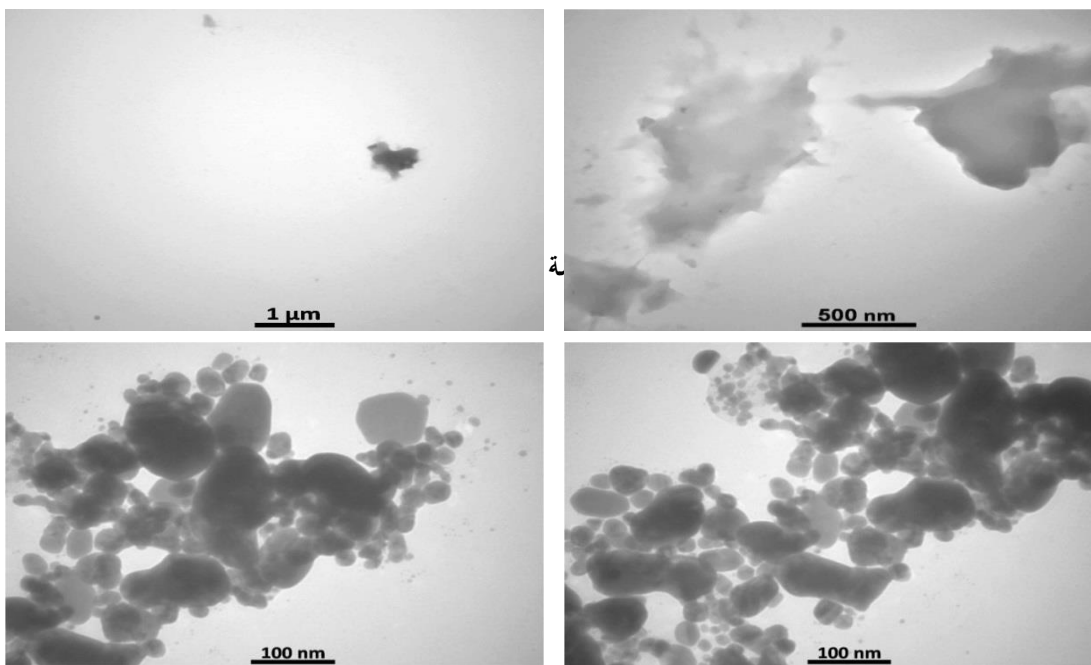
الشكل (11): الامتصاصية مع الطول الموجي عند الطاقة (300, 500 mJ) ولعدد من النبضات المختلفة لجسيمات الفضة.

إذ تم استخدام جهاز المجهر الإلكتروني النافذ TEM (Transmission Electron Microscope) الذي يعمل على تحديد خصائص مورفولوجيا للجسيمات النانوية ، مثل : شكلها وحجمها وكذلك للتتأكد من العينات المحضره للحصول على جسيمات نانوية عند طاقات ليزر مختلفة (300, 500 mJ) و عند نبضة (200 pulse).

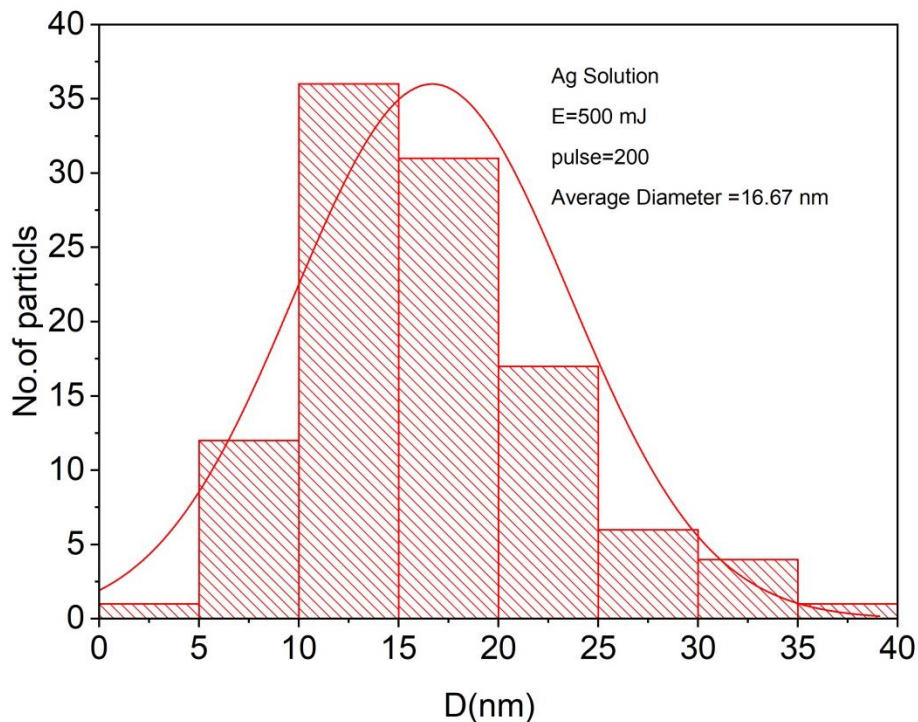
في الشكلين (13,12) إذ أظهرت صور المجهر الإلكتروني النافذ (TEM) التي يتم تخليقها بواسطة الاستئصال بالليزر النبضي في السائل المقطر الحالي من الأيونات عند عدد نبضات 200 نبضة وللطاقة (300 mJ ، 500 mJ). ويمكن الملاحظة من خلال صور الـ(TEM) ، أنّ الجسيمات الناتجة هي كروية الشكل وذات الأبعاد مختلفة لكلا الطاقتين (300 mJ ، 500 mJ). وتم قياس أكثر من 100 جسيمة للطاقة (300 mJ) إذ تتراوح هذه الأفطارات من (4.41-42.87) nm وبمعدل (18.52) nm . وكما تم قياس أكثر من 100 جسيمة للطاقة (500 mJ) ، إذ تتراوح أطوارها من (3.12-26.60) nm وبمعدل (12.10) nm . كما هو موضح في الشكل (15,14) التوزيع الاحصائي لهذه الجسيمات النانوية. من الممكن تطبيق هذه النتائج في المستقبل على بعض أنواع البكتيريا ، وملاحظة مدى استجابتها ومقارنتها مع المضادات الحيوية المستخدمة لمعالجة تلك البكتيريا.



الشكل (12): صور TEM لأبعاد مختلفة لمحلول الفضة النانوية عند الطاقة (300 mJ) ولعدد نبضات 200 نبضة.



الشكل (14): التوزيع الإحصائي لأقطار جسيمات الفضة النانوية المحضرة في المحلول عند طاقة (300 mJ).



الشكل (15): التوزيع الإحصائي لأقطار جسيمات الفضة النانوية المحضرة في المحلول عند طاقة (500 mJ).

5. الاستنتاجات

تم تحضير جسيمات الفضة النانوية بطريقة الاستتصال بالليزر النبضي في السائل (PLAL) ، وذلك باستعمال ليزر نبضي (Q-Switched) (YAG Nd: 1064) نانومتر وبطاقتي استتصال (300, 500) mJ ولعدد من النبضات (50, 100, 150, 200) نبضة عند درجة حرارة الغرفة، وبعد تحضير المحاليل لاحظنا التغير في لون الماء المقطر منزوع الايونات بزيادة عدد النبضات ، وهذا يُعد مؤشراً جيداً على انتاج جسيمات الفضة النانوية لون المحلول.

من الأصفر الباهت إلى الأصفر الداكن. درست الخصائص الفيزيائية عن طريق فحص المجهر (TEM) المجهر الإلكتروني النافذ عند نبضة (200 Pulse) وتبين من خلال هذا الفحص أن هناك جسيمات نانوية للحاليل المحضرة للفضة. وكما أظهرت نتائج صور الـTEM أنه عند الطاقتين (300, 500) mJ تم الحصول على جسيمات فضة نانوية كروية الشكل، ومن خلال هذه الصور تم قياس أقطار هذه الجسيمات النانوية بواسطة برنامج ImageJ (ImageJ) وتبين أن نطاق توزيع القطر يكون بين (4.41-42.87) نانو وبمعدل (18.52) نانومتر للفضة، وعند طاقة ليزر (500 mJ) كان نطاق توزيع القطر بين (3.12-26.60) وبمعدل (12.10) نانومتر للفضة.

6. Acknowledgements

We thank the University of Mosul, College of Education for Pure Science, for contributing to the success of this study.

7. References

- [1] N. Al-Jubbori and M. Al-Jubbori, "Preparation and study of some physical properties of copper nanoparticles by pulsed laser ablation in liquids technique," *J. Educ. Sci.*, vol. 31, no. 2, pp. 105–113, 2022, doi: 10.33899/edusj.2022.133494.1229.
- [2] M. F. Al-Hakkani, "Biogenic copper nanoparticles and their applications: A review," *SN Appl. Sci.*, vol. 2, no. 3, pp. 1–20, 2020, doi: 10.1007/s42452-020-2279-1.
- [3] S. L. Logunov, T. S. Ahmadi, M. A. El-Sayed, J. T. Khouri, and R. L. Whetten, "Electron dynamics of passivated gold nanocrystals probed by subpicosecond transient absorption spectroscopy," *J. Phys. Chem. B*, vol. 101, no. 19, pp. 3713–3719, 1997, doi:org/10.1021/jp962923f.
- [4] C. Burda, X. Chen, R. Narayanan, and M. A. El-Sayed, "Chemistry and properties of nanocrystals of different shapes," *Chem. Rev.*, vol. 105, no. 4, pp. 1025–1102, 2005, doi:org/10.1021/jp207447c
- [5] M. A. Bratescu, S.-P. Cho, O. Takai, and N. Saito, "Size-Controlled Gold Nanoparticles Synthesized in Solution Plasma," *J. Phys. Chem. C*, vol. 115, no. 50, pp. 24569–24576, Dec. 2011, doi: 10.1021/jp207447c.
- [6] F. Wang, R. Tang, H. Yu, P. C. Gibbons, and W. E. Buhro, "Size-and shape-controlled synthesis of bismuth nanoparticles," *Chem. Mater.*, vol. 20, no. 11, pp. 3656–3662, 2008, doi:org/10.1021/cm8004425
- [7] M. F. Al-Hakkani, "Biogenic copper nanoparticles and their applications: A review," *SN Appl. Sci.*, vol. 2, no. 3, p. 505, 2020, doi:org/10.1007/s42452-020-2279-1.
- [8] A. Majdalawieh, M. C. Kanan, O. El-Kadri, and S. M. Kanan, "Recent advances in gold and silver nanoparticles: synthesis and applications," *J. Nanosci. Nanotechnol.*, vol. 14, no. 7, pp. 4757–4780, 2014, doi:org/10.1166/jnn.2014.9526.
- [9] N. Iki, "Silver nanoparticles," *Anal. Sci.*, vol. 34, no. 11, pp. 1223–1224, 2018, doi:org/10.2116/ analsci.highlights1811.
- [10] J. H. Nam and P. Bruggeman, "Effect of the pH on the Formation of Gold Nanoparticles Enabled by Plasma-Driven Solution Electrochemistry," *Plasma Process. Polym.*, p. e2400140, 2024, doi:org/10.1002/ppap.202400140.
- [11] E. Navarro et al., "Toxicity of silver nanoparticles to *Chlamydomonas reinhardtii*," *Environ. Sci. Technol.*, vol. 42, no. 23, pp. 8959–8964, 2008, doi:org/10.1021/es801785m.
- [12] Y. Zhao, S. Li, Y. Zeng, and Y. Jiang, "Synthesis and properties of Ag/ZnO core/shell nanostructures prepared by excimer laser ablation in liquid," *APL Mater.*, vol. 3, no. 8, 2015, doi:org/10.1063/1.4928287
- [13] J. B. Wang, C. Y. Zhang, X. L. Zhong, and G. W. Yang, "Cubic and hexagonal structures of diamond nanocrystals formed upon pulsed laser induced liquid–solid interfacial reaction," *Chem. Phys. Lett.*, vol. 361, no. 1–2, pp. 86–90, 2002, doi:org/10.1016/S0009-2614(02)00871-0.
- [14] I. Khan, K. Saeed, and I. Khan, "Nanoparticles: Properties, applications and toxicities," *Arab. J. Chem.*, vol. 12, no. 7, pp. 908–931, 2019, doi:org/10.1016/j.arabjc.2017.05.011.
- [15] S. E. McNeil, "Nanotechnology for the biologist," *J. Leukoc. Biol.*, vol. 78, no. 3, pp. 585–594, 2005, doi:org/10.1189/jlb.0205074.
- [16] X. Zheng et al., "Laser-induced growth of monodisperse silver nanoparticles with tunable surface plasmon resonance properties and a wavelength self-limiting effect," *J. Phys. Chem. C*, vol. 111, no. 41, pp. 14962–14967, 2007, doi:org/10.1021/jp074583b.
- [17] M. Fang, W.-M. Zeisberg, C. Condon, V. Ogryzko, A. Danchin, and U. Mechold, "Degradation of nanoRNA is performed by multiple redundant RNases in *Bacillus subtilis*," *Nucleic Acids Res.*, vol. 37, no. 15, pp. 5114–5125, 2009, doi:org/10.1093/nar/gkp527.
- [18] G. Chen, J. Seo, C. Yang, and P. N. Prasad, "Nanochemistry and nanomaterials for photovoltaics," *Chem. Soc. Rev.*, vol. 42, no. 21, pp. 8304–8338, 2013, doi:org/10.1039/C3CS60054H
- [19] J. Jeevanandam, A. Barhoum, Y. S. Chan, A. Dufresne, and M. K. Danquah, "Review on nanoparticles and nanostructured materials: history, sources, toxicity and regulations," *Beilstein J. Nanotechnol.*, vol. 9, no. 1, pp. 1050–1074, 2018,

- doi:org/10.3762/bjnano.9.98
- [20] Y. Kim, J. H. Han, B. H. Hong, and Y. Kwon, "Electrochemical synthesis of CdSe quantum-dot arrays on a graphene basal plane using mesoporous silica thin-film templates," *Adv. Mater.*, vol. 22, no. 4, pp. 515–518, 2010, doi:org/10.1002/adma.200902736.
- [21] N. Liu, G. Fang, W. Zeng, H. Long, and X. Zhao, "Giant enhancement of field emission from selectively edge grown ZnO–carbon nanotube heterostructure arrays via diminishing the screen effect," *J. Phys. Chem. C*, vol. 115, no. 29, pp. 14377–14385, 2011, doi:org/10.1021/jp204724t.
- [22] T. Bhuvana and G. U. Kulkarni, "Highly conducting patterned Pd nanowires by direct-write electron beam lithography," *ACS Nano*, vol. 2, no. 3, pp. 457–462, 2008, doi:org/10.1021/mn700372h.
- [23] S. Eustis, D. Wang, S. Lyapustina, and K. H. Bowen, "Photoelectron spectroscopy of hydrated adenine anions," *J. Chem. Phys.*, vol. 127, no. 22, 2007, doi:org/10.1063/1.2806033.
- [24] N. A. Al-Jubbori and M. A. Al-Jubbori, "Preparation and study of some physical properties of copper nanoparticles by pulsed laser ablation in liquids technique," *J. Educ. Sci.*, vol. 31, no. 2, pp. 105–113, 2022, doi: 10.33899/edusj.2022.133494.1229.
- [25] S. N. Rashid, K. A. Aadim, and A. S. Jasim, "Silver Nanoparticles Synthesized by Nd: YAG Laser Ablation Technique: Characterization and Antibacterial Activity," *Karbala Int. J. Mod. Sci.*, vol. 8, no. 1, pp. 71–82, 2022, doi: 10.33640/2405-609X.3210.
- [26] M. Skiba, J. Zaporozhets, and V. Vorobyova, "Gold nanoparticles with natural polymer synthesized by plasma–liquid interactions: Size-control, characterization and colorimetric detection of melamine based on the size effect of gold nanoparticles," *Nano-Structures & Nano-Objects*, vol. 37, p. 101113, 2024, doi:10.2777/76945.
- [27] .S. Baturay, A. Tombak, D.Kaya, Y.S., Ocak, M., Tokus, M. Aydemir, and T., "Kilicoglu. Modification of electrical and optical properties of CuO thin films by Ni doping". *Journal of SolGel Science and Technology*, 78, pp.422-429. 2016.doi.org/10.1007/s10971-015-3953-4.
- [28] V. T. Lee, H. Sondermann, and W. C. Winkler, "Nano-RNases: oligo-or dinucleases?", *FEMS Microbiol. Rev.*, vol. 46, no. 6, p. fuac038, 2022, doi:10.1093/femsre/fuac038
- [29] J.G. Simmons".Conduction In Thin Dielectric Film" *Journal of Physics D: Applied Physics*, Vol.4.No.5 ,pp. 613-630 .1971. DOI 10.1088/0022-3727/4/5/202
- [30] R. K. Goyal, "Nanomaterials and Nanocomposites, Synthesis, Techniques, and Applications, Properties, Characterization." Taylor & Francis Group CRC, 2018, doi:org/10.1201/9781315153285.
- [31] V. Harish, M . M. Ansari, D. Teari, and A. B. Yadav, "Cutting-edge advances in tailoring size, shape, and functionality of nanoparticles and nanostructures: A review," *J. Taiwan Inst. Chem. Eng.*, vol. 149, p. 105010, 2023, doi:org/10.1016/j.jtice.2023.105010
- [32] C. Pandit, S. Banerjee, S. Pandit, and D. Lahiri , "Recent advances and challenges in the utilization of nanomaterials in transesterification for biodiesel production," *Heliyon*, vol. 9, no. 4, 2023, doi:org/10.1016/j.heliyon.2023.e15475
- [33] H. Lu, S. Y. Tang, G. Yun, H. Li, and Y. Zhang, "Modular and Integrated Systems for Nanoparticle and Microparticle Synthesis—A Review," *Biosensors*, vol. 10, no. 11, pp. 1–34, 2020, doi: 10.3390/BIOS10110165.

تحضير جسيمات الفضة النانوية لطاقتين (300 و 500) باستعمال ليزر النديم: يوم ياك (Nd:YAG laser)

نور عط الله الجبوري⁽¹⁾ ، مشتاق عبد داود الجبوري⁽²⁾ ، عياد الهدادي الزوام⁽³⁾

⁽¹⁾ شعبة السلامة والأمن الكيميائي والبيولوجي والشعاعي ، رئاسة الجامعة الموصى

⁽²⁾ قسم الفيزياء، كلية التربية للعلوم الصرفة، جامعة الموصى، الموصى، العراق

⁽³⁾ قسم الفيزياء كلية العلوم جامعة طرابلس. ليبيا

المستخلص

إن الهدف من البحث : هو تحضير جسيمات الفضة النانوية التركيب باستخدام طريقة الاستئصال بالليزر النبضي في السائل (PLAL) ، إذ تعدّ هذه الطريقة طريقة غير تقليدية و سريعة ونظيفة وغير سامة وذات ثبات طويل، وذلك باستعمال ليزر نبضي (Q-switched Nd: YAG) (نانومتر) وبطاقتى استئصال 500 mJ (300, 500) ولعدد من النبضات (200, 150, 100, 50) نبضة، وعملية الاستئصال بالليزر تمت عند درجة حرارة الغرفة، وتم ذلك من خلال غمر المعدن في ماء منزوع الأيونات (الماء المقطر). وبعد تحضير المحاليل بحجم (5 مل) ، إذ لاحظنا التغير في لون الماء المقطر منزوع الأيونات مع زيادة عدد النبضات، وهذا يعد مؤشراً جيداً على انتاج جسيمات الفضة النانوية هو تغير لون المحلول من الأصفر الباهت إلى الأصفر الداكن. وقد تم تحليل الخصائص الفيزيائية عن طريق الفحص المجهرى (TEM) : المجهر الإلكتروني النافذ عند نبضة (200 Pulse) ، وتبين من خلال هذا الفحص أن هناك جسيمات نانوية للمحاليل المحضره للفضة. وكما أظهرت نتائج صور الـ (TEM) أنه بوجود الطاقتين (300, 500 mJ) تم الحصول على جسيمات فضة نانوية كروية الشكل، ومن خلال هذه الصور تم قياس قطر هذه الجسيمات النانوية بواسطة برنامج (ImageJ) تبين أن نطاق توزيع القطر يكون بين 4.41- 42.87 نانومتر (18.13) والتي ترکرت تقریباً عند نانومتر للفضة، وعند طاقة ليزر 500 mJ، كان نطاق توزيع القطر بين (3.12- 26.60 نانومتر) والتي ترکرت تقریباً عند (16.67) نانومتر للفضة.